

Oliwier Pszeniczko – Projekt

RC-Robot Car

Rozdział I

Tematem projektu jest budowa oraz zaprogramowanie systemu pojazdu charakteryzującego się pracą w dwóch niesymultanicznych trybach tzn. autonomicznym w którym to przemieszczanie pojazdu uwarunkowane jest poprzez otoczenie i przeszkody, na które może natrafić pojazd. Dodatkowo pojazd w tym trybie realizuje rolę sondy badawczej dokonując pomiarów temperatury powietrza w otoczeniu po każdym napotkaniu przeszkody i informując operatora w razie niespodziewanie wysokich wskazań tego pomiaru.

Drugi tryb, czyli praca pojazdu w trybie zdalnego sterowania umożliwiającą operatorowi pełną kontrolę nad procesem poruszania się pojazdu przy pomocy specjalnie do tego zadania skonstruowanego kontrolera bezprzewodowego. Bieżący tryb pracy jest w pełni zależny od wyboru operatora.

Rozdział II

W projekcie jako jednostki centralne stanowiące trzon w pełni działającego systemu zostały wykorzystane mikrokontrolery Arduino Uno pełniący tę rolę dla systemu pojazdu oraz Arduino Nano dla systemu kontrolera bezprzewodowego. Napięcie do obu tych niezależnych systemów doprowadzone zostało z zewnętrznych źródeł zasilania o wysokości 6 oraz 9V. Komunikacja między tymi podsystemami zapewniona została z wykorzystaniem modułu radiowego nRf24L04 zasilanego napięciem o wysokości 3.3V działającego w trybie komunikacji dwukierunkowej.

Przemieszczanie pojazdu odbywa się poprzez wprawienie w ruch czterech gumowych kół przyłączonych do karoserii pojazdu przy udziale w sposób bezpośredni silników prądu stałego. Za ich obsługę odpowiedzialny jest dwukanałowy moduł sterownika silników L298N, Ten fragment systemu również został zaopatrzony w dodatkowe źródło zasilania w wysokości 9V.

Pojazd został wyposażony w ultradźwiękowy czujnik odległości HC-SR04 przymocowany do serwomechanizmu, cyfrowy czujnik temperatury DS18B20 przyłączony poprzez rezystor o rezystancji 4.7 kOhm. Te komponenty w sposób bezpośredni wpływają na zachowanie systemu, podejmując interakcje z otoczeniem determinują pewne zachowania pojazdu w konkretny sposób, w zarówno autonomicznym trybie pracy jak i zdalnego sterowania. To znaczy kolejno, czujnik HY-SRF05 odpowiedzialny za wyliczenie odległości do przeszkody, w przypadku konieczności zmiany trasy jazdy to znaczy wykryciu w odległości 40cm w linii prostej od pojazdu

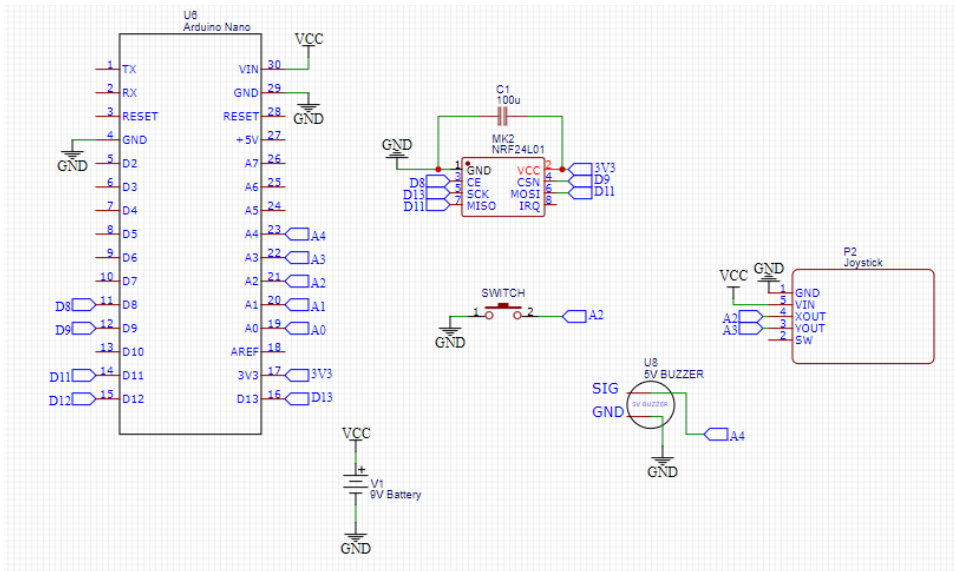
przeszkody, spowoduje jego zatrzymanie i dzięki obrotu serwomechanizmu w zakresie 120 stopni i tym samym umożliwieniu dalszego dokonania pomiaru czujnikowi ultradźwiękowemu, na podstawie którego to zostanie wybrany nowy, korzystniejszy pod względem odległości od kolejnej przeszkody kierunek jazdy.

Z kolei rolą czujnika DS18B20 będzie monitorowanie i ewentualne informowanie o wysokim tzn. Przekraczającym 30 stopni w skali Celsjusza pomiarze.

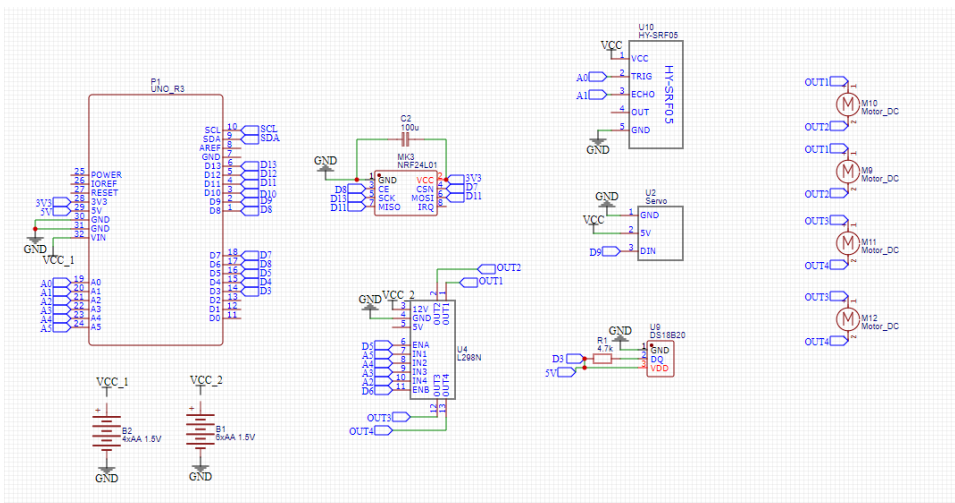
Do ich zasilenia wykorzystano napięcie o wysokości 5V.

Budowa kontrolera bezprzewodowego została przeprowadzona na osobnej płycie uniwersalnej prototypowej. Po za mikrokontrolerem w skład tych podzespołów wchodzi, joystick zasilany napięciem w wysokości 5V, odpowiedzialne za realizację poruszania pojazdem w dwóch osiach z uwzględnieniem stopnia odchylenia gałki przekładającej się odpowiedni stopień modulacji sygnału PWM po stronie kontrolera silników w trybie pracy zdalnego sterowania, brzęczyk wydający głośny, jednostajny dźwięk w przypadku, gdy na system kontrolera ze strony systemu pojazdu trafi stosowna informacja docierająca z pomiaru czujnika temperatury oraz przełącznik typu tact, służący do wyboru pomiędzy trybami pracy systemu zmieniający ten tryb w przypadku odczytu zmiany jego stanu cyfrowego.

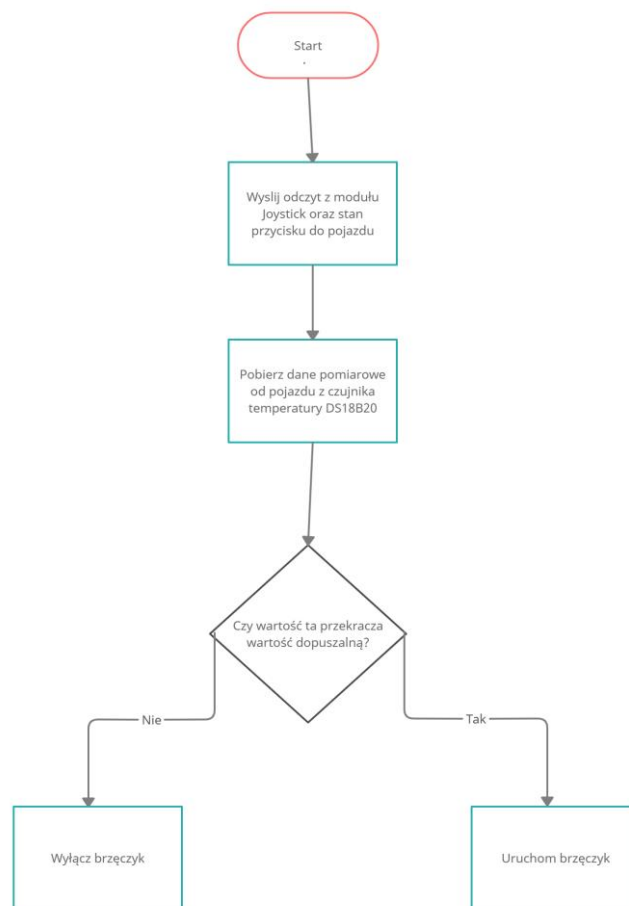
Schemat logiczny Kontrolera



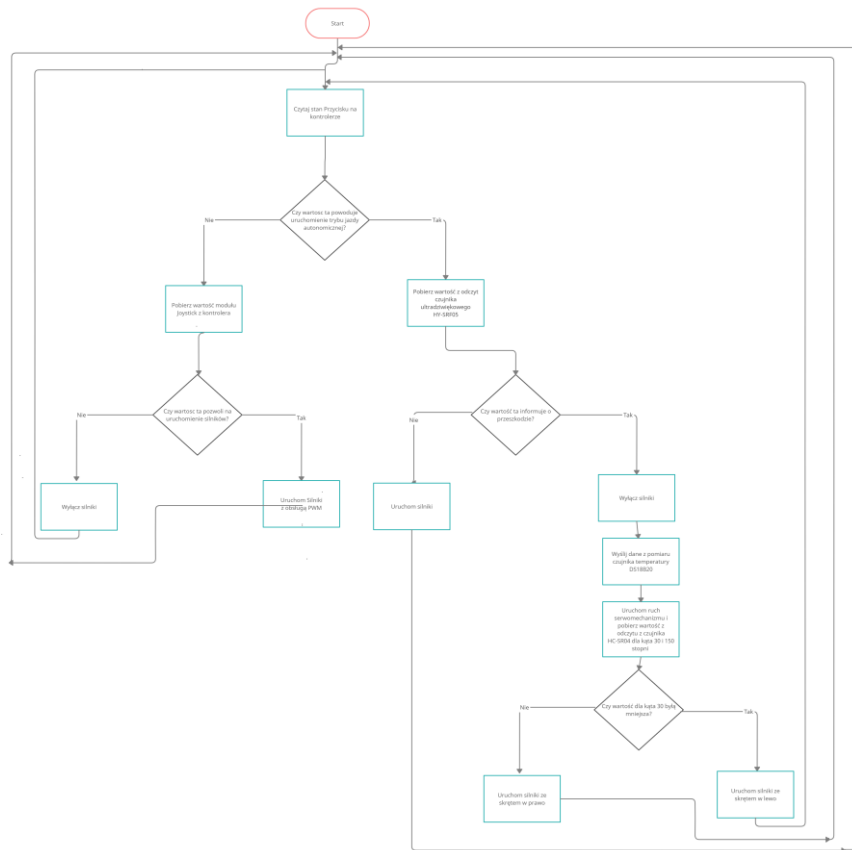
Schemat logiczny Pojazdu



Schemat blokowy Kontrolera



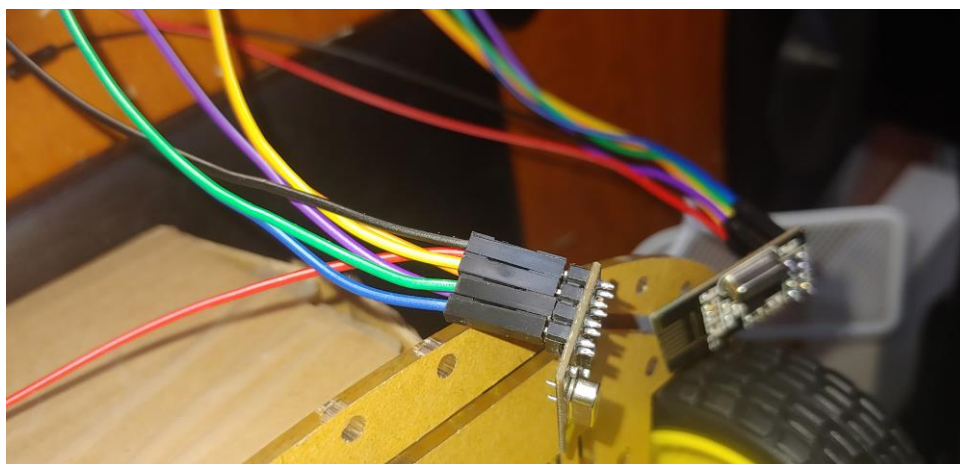
Schemat blokowy Pojazdu



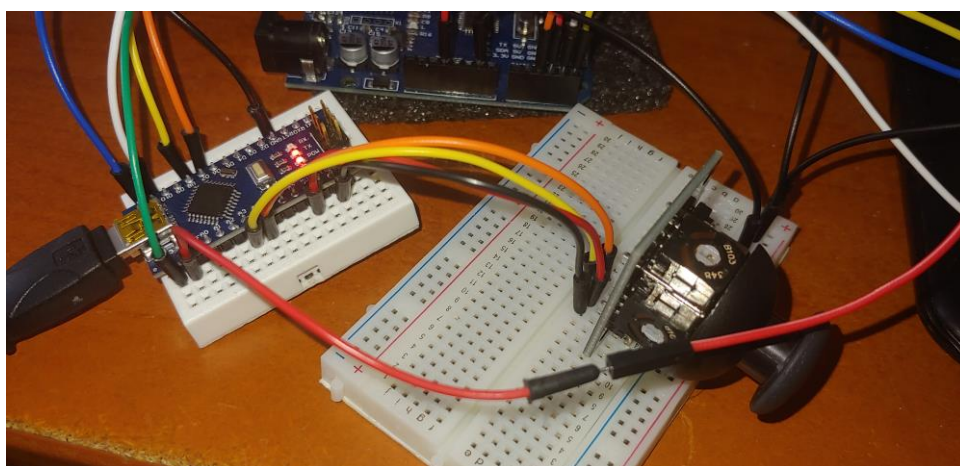
Rozdział III - Przebieg realizacji projektu

Konstrukcja sprzętowa systemu

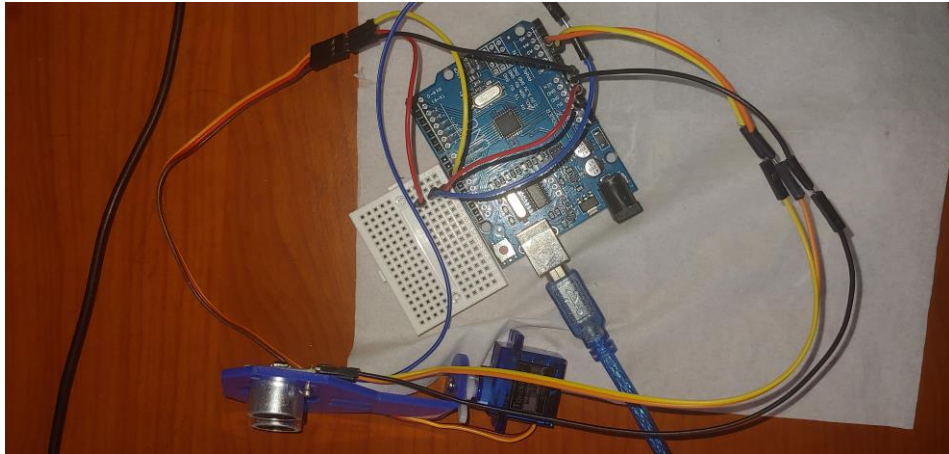
Przed przystąpieniem do konstrukcji właściwej przedmiotu projektu poszczególne komponenty wchodzące w jego skład zostały poddane szeregowi testów, kalibracji i poprawek. Pomocne okazały się przy tym wszelkiego rodzaju skonstruowane na tę potrzebę jednostki testowe sprawdzające poszczególne komponenty, pod kątem sposobu ich działania, interakcji z pozostałymi komponentami wchodzącymi w skład systemu wraz z wyszukaniem ewentualnych nieprawidłowości pozwalających na dokonanie działań prowadzących do ich eliminacji. Poniżej zostały przedstawione przykłady takich testów.



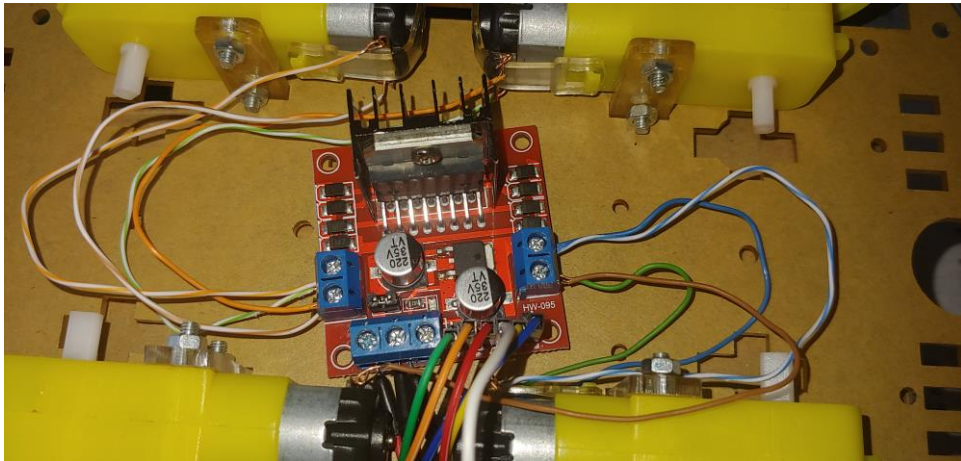
komunikacji pomiędzy modułami NRF24L01



połączenie mikrokontrolera z modułem joystick



połączenie czujnika ultradźwiękowego oraz serwomechanizmu

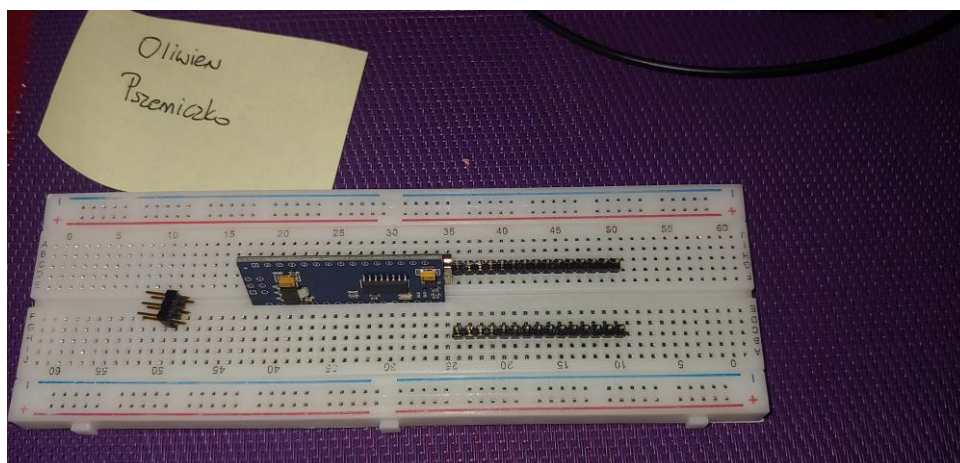


obsługi silników przy pomocy sterownika L298N przy wykorzystaniu żył pochodzących z kabla ethernetowego

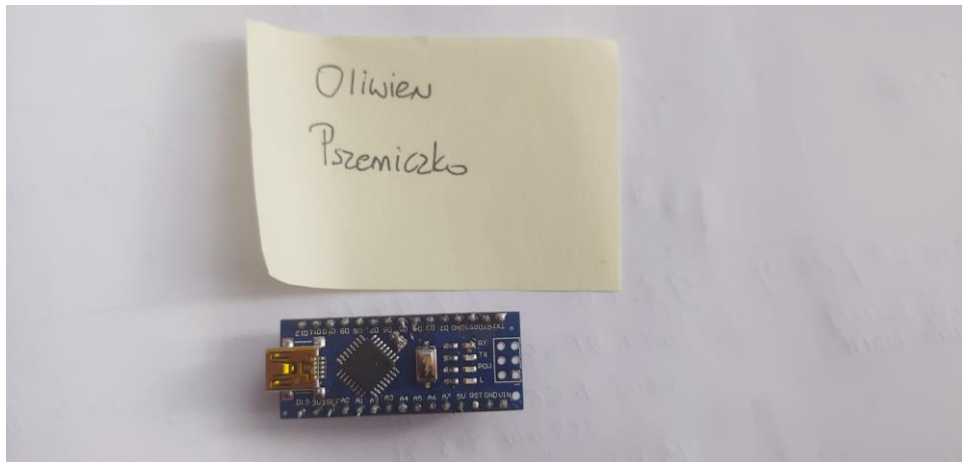
W części właściwej konstrukcji zostały wykorzystane takie czynności modelarskie jak, lutowanie z wykorzystaniem lutownicy kolbowej o mocy 40W, łączenie ze sobą elementów przy użyciu pistoletu do kleju na gorąco i oczywiście skręcanie pomniejszych elementów przy użyciu śrubokręta. Szereg wyszczególnionych poniżej czynności doprowadziły do uzyskania konstrukcji zdanej do niezakłóconej jazdy.

Proces konstrukcyjny Kontrolera

Jako mikrokontroler obsługujący podsystem kontrolera bezprzewodowego wykorzystany został samodzielnie zlutowany model Arduino Nano z rzędami goldpinów.



widok na płytkę oraz rzędy pinów przed ich przylutowaniem



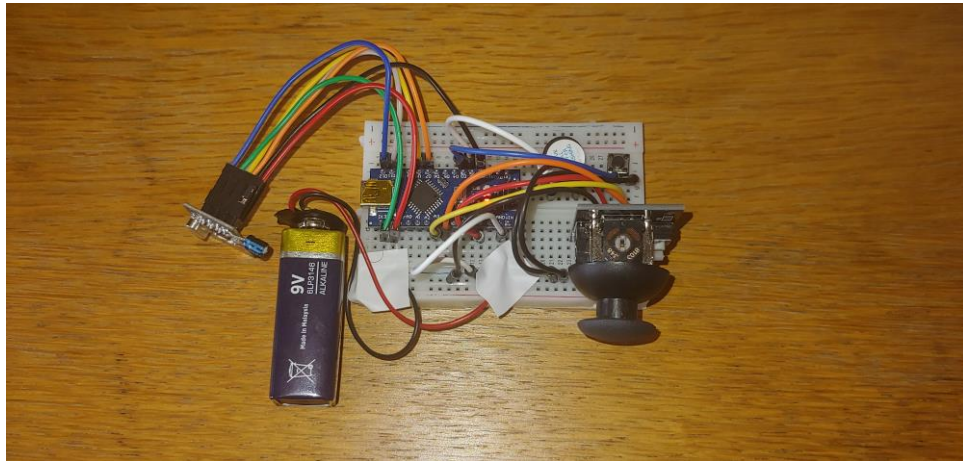
Widok na zlutowany komponent

Do modułu radiowego w celu zapewnienia lepszej jakości oraz większej niezawodności wlutowany równoległe pomiędzy złączem zasilania a masą kondensator 10 uF. Analogiczna operacją wykonana zostaje w przypadku modułu połączanego do systemu pojazdu.



Widok na moduł radiowy po wykonanym przylutowaniu kondensatora

W ramach kontrolera na płytce według schematu zostają umieszczone wcześniej wymienione elementy.



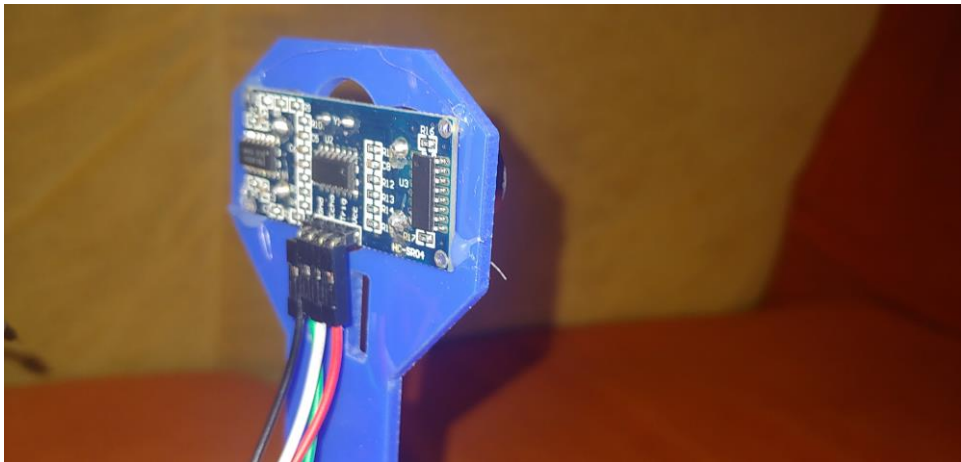
Widok na gotowy kontroler

Proces konstrukcyjny Pojazdu

Serwomechanizm wraz czujnikiem ultradźwiękowym złączone zostały poprzez zakupiony do tego celu uchwyt. Po stronie serwomechanizmu został on przykręcony do orczyka poprzez zamieszony w komplecie wkręt. Z kolei sam czujnik został skleiony z uchwytem przy pomocy kleju na gorąco.

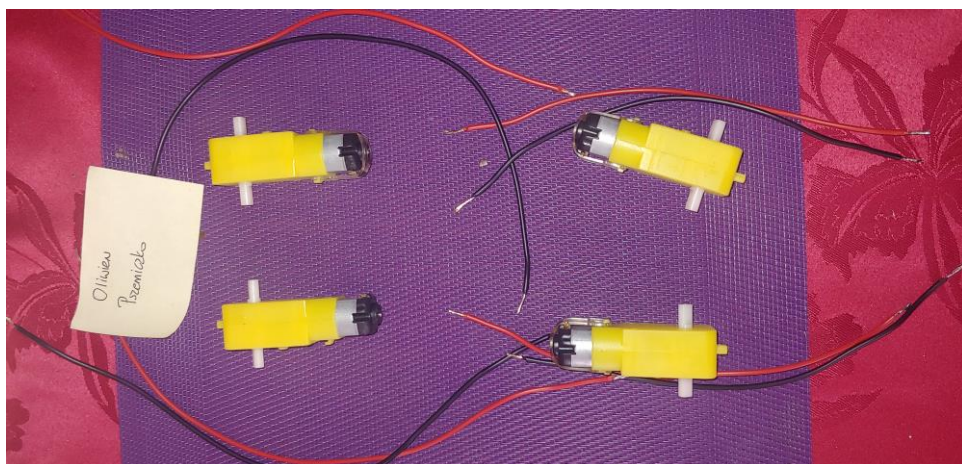


widok na elementy wchodzące w skład podsystemu wykrywania przeszkód przed połączeniem

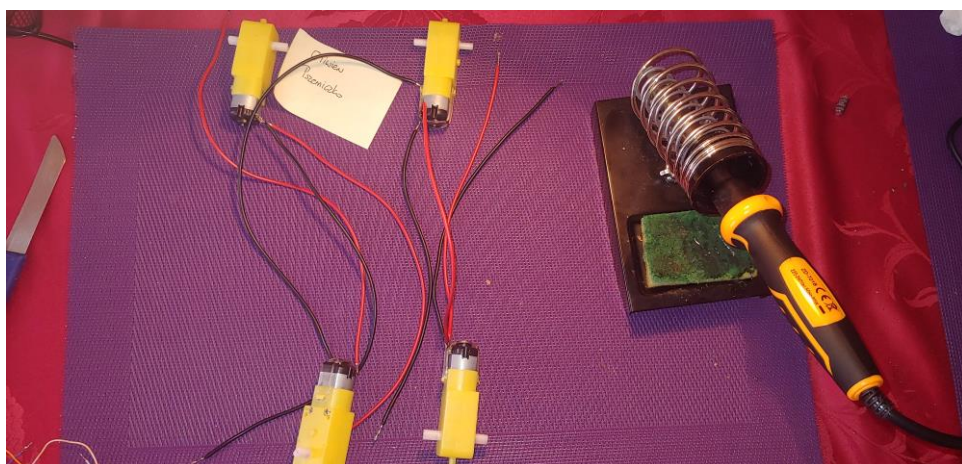


widok po sklejeniu czujnika z uchwytem

Do silników prądu stałego zostały przylutowane wcześniej pobielone przewody instalacyjne doprowadzające do nich zasilanie.

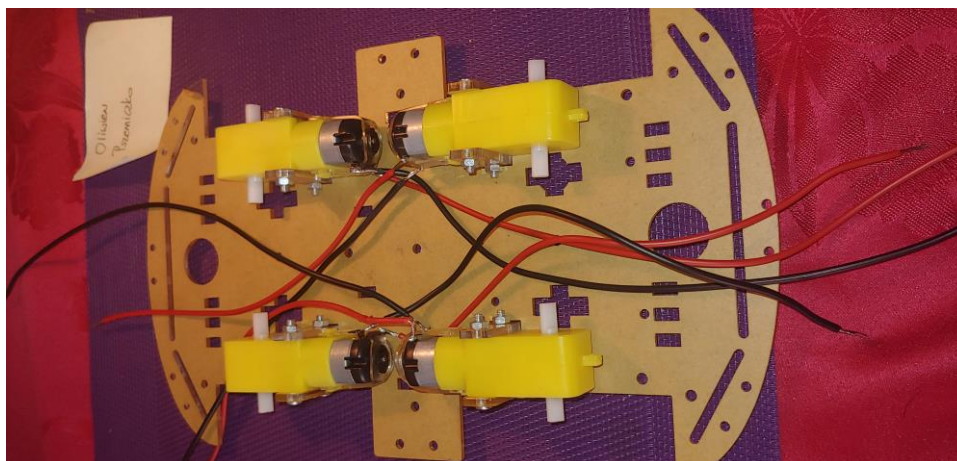


widok przed przylutowaniem przewodów do silników



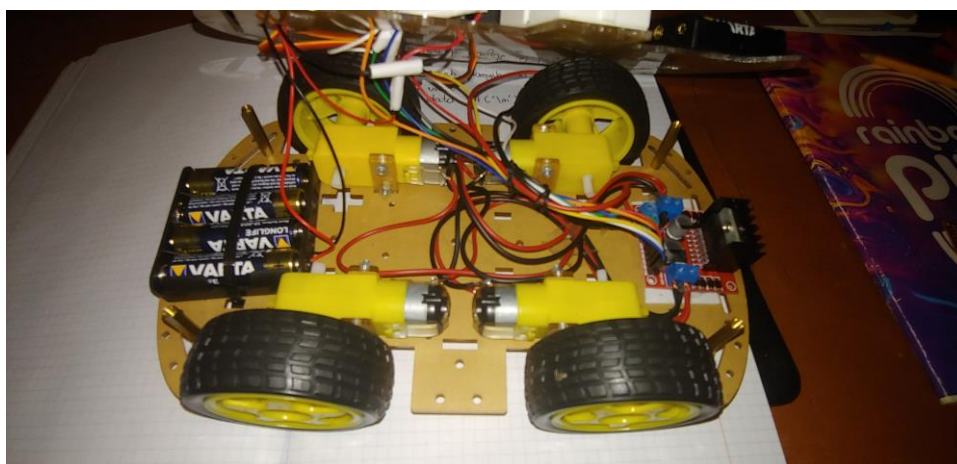
widok po przylutowaniu przewodów do silników

Silniki zostały umieszczone i zamocowane przy użyciu znajdujących się w komplecie elementów połączeniowych dołączonych do zakupionego stelaża.



widok po zamontowaniu silników do stelaża

Dolny poziom pojazdu uzupełniony został o kontroler silników L298N do którego doprowadzone zostały przewody wychodzące od silników oraz baterię 4x1.5V zasilającą płytkę Arduino Uno znajdującą się z kolei na górnym poziomie.

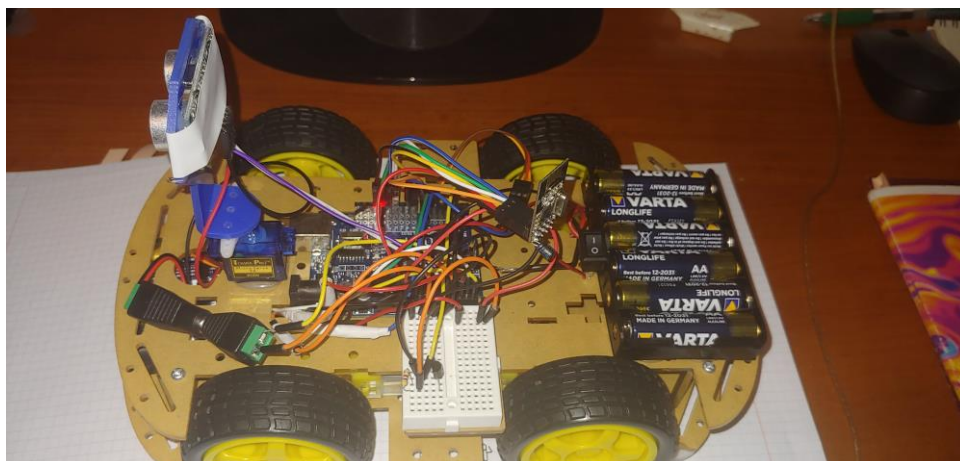


widok na dolny poziom pojazdu

Na górnej powierzchni pojazdu znalazł się mikrokontroler Arduino wraz małą 170 polową płytką stykową przez którą połączony został czujnik temperatury DS18B20.

Po za tym znajduje się tam pojemnik z sześcioma bateriami R6 AA z przyłączonych do wyjścia napięcia przełącznikiem kołyskowym i stanowiącym zasilanie dla silników prądu stałego.

Na froncie pojazdu osadzony został czujnik ultradźwiękowy na wieżyczce z serwomechanizmu i uchwyty.



widok na górny poziom pojazdu

Oprogramowanie dla systemu

Do realizacji projektu od strony programistycznej wykorzystane zostało dedykowane w tym celu popularne środowisko, Arduino IDE.

Program został napisany z poszanowaniem takich paradygmatów programowania jak modularność, funkcyjność. Został on rozbity na dwa moduły z każdym przypadającym do obsługi danego podsystemu z całości. Mnogość zdefiniowanych procedur dla fragmentów kodu wykonywanych w sposób cykliczny pozwoliło na pozostawienie głównej procedury loop w kompaktowym i przejrzystym widoku.

Kod pisany był starannie, schludnie, tak aby był w miarę możliwości jak najbardziej zrozumiały dla potencjalnej osoby zainteresowanej.

Zaimplementowane zostały również gotowe rozwiązania takie jak np. Procedura obsługująca czujnik ultradźwiękowy, gdzie to, aby otrzymać jak najdokładniejszy wynik pomiaru odległości od przedmiotu należało posłużyć się gotową do tego celu formułą.

Kod źródłowy dla Kontrolera

```
1 #include <SPI.h>
2 #include <nRF24L01.h>
3 #include <RF24.h>
4 #include <Servo.h>
```

Wykorzystane biblioteki

```

7 | #define buttonPin 3
8 | #define buzzerPin 2

```

Definicja nazw dla pinów służących do obsługi przycisku switch oraz brzęczyka

```

11 | bool prevButton = true;
12 | bool currButton = true;

```

Deklaracja dwóch zmiennych typu bool przechowujące odpowiednio poprzedni i aktualny stan na przełączniku

```

14 | bool buzzerState = LOW;

```

Deklaracja zmiennej służącej do określenia stanu na wyjściu brzęczyka

```

15 | bool autoMode = false;

```

Deklaracja zmienna pomocnicza służąca do określenia czy aktualny tryb pracy pojazdu jest trybem autonomicznym

```

16 | float sentData;

```

Deklaracja zmiennej służącej do pobierania pomiaru z czujnika temperatury nadesłanego z pojazdu

```

19 | RF24 radio (7, 8);

```

Konstrukcja obiektu klasy RF24

```

20 | byte address[][6] = {"00001" , "00002"};

21 | struct package
22 | {
23 |     int X = 0;
24 |     int Y = 0;
25 |     bool Mode = false;
26 | };
27 |
28 | typedef struct package Package;
29 | Package data;

```

Deklaracja struktury, która w postaci pakietu zawiera w sobie informacje mające trafić do pojazdu

Fragment kodu należące do procedury setup:

```
32 | pinMode(buttonPin, INPUT_PULLUP);
```

Ustawienie trybu pracy pinu przełącznika na input wraz z podciągniętym wewnętrznym rezystorem

```
34 | radio.begin();  
35 | radio.openWritingPipe( address[1]);  
36 | radio.openReadingPipe(1, address[0]);  
37 | radio.setPALevel(RF24_PA_MIN);
```

Szereg instrukcji związanych z wywołaniem połączenia w komunikacji radiowej

```
31 | void setup() {  
32 |   pinMode(buttonPin, INPUT_PULLUP);  
33 |   delay(100);  
34 |   radio.begin();  
35 |   radio.openWritingPipe( address[1]);  
36 |   radio.openReadingPipe(1, address[0]);  
37 |   radio.setPALevel(RF24_PA_MIN);  
38 |   delay(100);  
39 |   currButton = digitalRead(buttonPin);  
40 |  
41 | }
```

widok na pełną procedurę setup

Fragment kodu należące do procedury loop:

```
46 | data.X = analogRead(A2);  
47 | data.Y = analogRead(A3);
```

Przypisanie do zmiennych wewnątrz pakietu odczytów z pinów połączonych do osi modułu joystick

```

49 | prevButton = currButton;
50 | currButton = digitalRead(buttonPin);

```

Przypisanie do zmiennej informująca o poprzednim stanie przełącznika aktualny, a do aktualnego nowy odczyt z pinu.

```

51 | if (prevButton == HIGH && currButton == LOW) {
52 |     autoMode = !autoMode;
53 |     data.Mode = autoMode;
54 | }
55 | else{
56 |     data.Mode = autoMode;
57 | }
58 | delay(50);
59 | radio.write(&data, sizeof(data));

```

Fragment kodu odpowiedzialny za obsługę przypadku, gdy przełącznik został naciśnięty i do pakiety trafi wartość informująca o konieczności zmiany trybu działania pojazdu

```

59 | radio.startListening();
60 | while(!radio.available());
61 | radio.read(&sentData, sizeof(sentData));
62 |
63 | if (sentData >= 30 && buzzerState == LOW) {
64 |     buzzerState = HIGH;
65 |     digitalWrite(buzzerPin, buzzerState);
66 | }
67 |
68 | else if (sentData >= 30 && buzzerState == HIGH) {
69 |
70 | }
71 |
72 | else{
73 |     buzzerState = LOW;
74 |     digitalWrite(buzzerPin, buzzerState);
75 | }
76 |
77 | }

```

Fragment kodu odpowiedzialny za pobranie wartości przychodzącej na kontroler ze strony pojazdu i w przypadku odczytu o określonym parametrze uruchomiony zostaje brzęczyk

```

43 void loop() {
44     delay(5);
45     radio.stopListening();
46     data.X = analogRead(A2);
47     data.Y = analogRead(A3);
48
49     prevButton = currButton;
50     currButton = digitalRead(buttonPin);
51     if (prevButton == HIGH && currButton == LOW) {
52         autoMode = !autoMode;
53         data.Mode = autoMode;
54     }
55     else{
56         data.Mode = autoMode;
57     }
58     delay(50);
59     radio.write(&data, sizeof(data));
60
61     delay(5);
62     radio.startListening();
63     while(!radio.available());
64     radio.read(&sentData, sizeof(sentData));
65
66     if (sentData >= 30 && buzzerState == LOW) {
67         buzzerState = HIGH;
68         digitalWrite(buzzerPin, buzzerState);
69     }

```

widok na pełną procedurę loop

Kod źródłowy dla Pojazdu

```

1 #include <SPI.h>
2 #include <nRF24L01.h>
3 #include <RF24.h>
4 #include <Servo.h>
5 #include <OneWire.h>
6 #include <DallasTemperature.h>
-

```

Wykorzystane biblioteki

```

9 | #define rightBack A3
10 | #define rightFront A2
11 | #define leftBack A5
12 | #define leftFront A4
13 |
14 | #define enableLeft 5
15 | #define enableRight 6
16 |
17 | #define cePin 8
18 | #define csnPin 7
19 |
20 | #define trigPin A0
21 | #define echoPin A1
22 |
23 | #define servoPin 9
24 |
25 | #define temprPin 2

```

Definicje nazw dla konkretnych pinów będących odpowiedzialne za obsługę poszczególnych podzespołów

```

27 | RF24 radio(cePin, csnPin);
28 |
29 | Servo towerServo;

```

Konstrukcja obiektów klas RF24 oraz Servo

```

31 | OneWire oneWire(temprPin);
32 | DallasTemperature sensors(&oneWire);

```

Konstrukcja obiektów z klas powiązanych z czujnikiem temperatury

```

36 | int autoMode;

```

Deklaracja zmiennej typu int, do której przesyłany z kontrolera jest aktualny tryb pracy. W przypadku przyjęcia wartości 1 pozwalająca na przejście w tryb autonomiczny.

```

38 | float sentData[1];

```

Deklaracja tablicy typu float, do której zapisywany jest pomiar z czujnika temperatury i przesyłany dalej do kontrolera

```
49 | int datagram[3];
```

Deklaracja tablicy typu int do której trafiają dane odczytane z kontrolera.

```
51 | int leftMotorSpeed = 0;  
52 | int rightMotorSpeed = 0;
```

Deklaracja zmiennych odpowiedzialnych określenie wartości prędkości dla silników przy użyciu modulacji PWM w trybie pracy zdalnego sterowania

```
54 | byte address[][6] = {"00008", "00009"};
```

Deklaracja tablicy znaków zawierających adresy, po których komunikują wzajemnie się moduły NRF24L01

Fragmenty kodu należące do procedury setup:

```
60 | radio.begin();  
61 | radio.openWritingPipe(address[0]);  
62 | radio.openReadingPipe(1, address[1]);  
63 | radio.setPALevel(RF24_PA_MAX);
```

Szereg instrukcji związanych z wywołaniem połączenia w komunikacji radiowej

```
64 | towerServo.attach(servoPin);
```

Podłączanie obiektu klasy Servo.h

```
65 | sensors.begin();
```

Inicjalizacja czujnika temperatury

```

69   pinMode(echoPin, INPUT);
70   pinMode(trigPin, OUTPUT);
71
72   pinMode(enableLeft, OUTPUT);
73   pinMode(enableRight, OUTPUT);
74   pinMode(leftFront, OUTPUT);
75   pinMode(leftBack, OUTPUT);
76   pinMode(rightFront, OUTPUT);
77   pinMode(rightBack, OUTPUT);
78
79   digitalWrite(leftFront, LOW);
80   digitalWrite(leftBack, LOW);
81   digitalWrite(rightFront, LOW);
82   digitalWrite(rightBack, LOW);

```

Konfiguracja trybu pracy dla pinów czujnika ultradźwiękowego oraz silników wraz z ustalenie na nich stanu niskiego

```

58 void setup(){
59   Serial.begin(9600);
60   radio.begin();
61   radio.openWritingPipe(address[0]);
62   radio.openReadingPipe(1, address[1]);
63   radio.setPALevel(RF24_PA_MAX);
64   towerServo.attach(servoPin);
65   sensors.begin();
66
67   delay(1000);
68
69   pinMode(echoPin, INPUT);
70   pinMode(trigPin, OUTPUT);
71
72   pinMode(enableLeft, OUTPUT);
73   pinMode(enableRight, OUTPUT);
74   pinMode(leftFront, OUTPUT);
75   pinMode(leftBack, OUTPUT);
76   pinMode(rightFront, OUTPUT);
77   pinMode(rightBack, OUTPUT);
78
79   digitalWrite(leftFront, LOW);
80   digitalWrite(leftBack, LOW);
81   digitalWrite(rightFront, LOW);
82   digitalWrite(rightBack, LOW);
83 }

```

widok na pełną procedurę setup

Fragment kodu należące do procedury loop:

```
110 long ultrasonicRead(){  
111     long duration, distance;  
112     digitalWrite(trigPin, LOW);  
113     delayMicroseconds(2);  
114     digitalWrite(trigPin, HIGH);  
115     delayMicroseconds(10);  
116     digitalWrite(trigPin, LOW);  
117     duration = pulseIn(echoPin, HIGH);  
118     distance = (duration / 2) / 29.1;  
119     return distance;  
120 }
```

Funkcja zwracająca odległość wyliczoną za pomocą czujnika ultradźwiękowego

```

122 void moveForward(){
123     digitalWrite(leftBack, HIGH);
124     digitalWrite(leftFront, LOW);
125     digitalWrite(rightBack, HIGH);
126     digitalWrite(rightFront, LOW);
127 }
128
129 void moveBackward(){
130     digitalWrite(leftBack, LOW);
131     digitalWrite(leftFront, HIGH);
132     digitalWrite(rightBack, LOW);
133     digitalWrite(rightFront, HIGH);
134 }
135
136 void turnRight(){
137     digitalWrite(enableLeft, HIGH);
138     digitalWrite(enableRight, HIGH);
139     digitalWrite(leftBack, HIGH);
140     digitalWrite(leftFront, LOW);
141     digitalWrite(rightBack, LOW);
142     digitalWrite(rightFront, HIGH);
143 }
144
145 void turnLeft(){
146     digitalWrite(enableLeft, HIGH);
147     digitalWrite(enableRight, HIGH);
148     digitalWrite(leftBack, LOW);
149     digitalWrite(leftFront, HIGH);
150     digitalWrite(rightBack, HIGH);
151     digitalWrite(rightFront, LOW);
152 }

```

Szereg procedur odpowiedzialnych za obsługę silników wykorzystanych w autonomicznym trybie jazdy

```

154 void Stop() {
155     digitalWrite(enableLeft, LOW);
156     digitalWrite(enableRight, LOW);
157     digitalWrite(leftBack, LOW);
158     digitalWrite(leftFront, LOW);
159     digitalWrite(rightBack, LOW);
160     digitalWrite(rightFront, LOW);
161 }
162

```

Procedura zatrzymania silników

```

163 void obstacleAvoidance(){
164     long currDistance = ultrasonicRead();
165     delay(100);
166     if(currDistance <= 40){
167         Stop();
168         delay(10);
169         radio.stopListening();
170         radio.write(sentData, sizeof(sentData));
171         delay(100);
172         digitalWrite(enableLeft, HIGH);
173         digitalWrite(enableRight, HIGH);
174         moveBackward();
175         delay(200);
176         Stop();
177         delay(10);
178         radio.startListening();
179         if (radio.available()){
180             while (radio.available()){
181                 radio.read(datagram, sizeof(datagram));
182             }
183             autoMode = datagram[2];
184             if (autoMode == 1){
185                 delay(500);
186                 towerServo.write(30);
187                 delay(300);
188                 long rightDistance = ultrasonicRead();
189                 // delay(100);
190                 delay(10);
191                 radio.startListening();
192                 if (radio.available()){
193                     while (radio.available()){
194                         radio.read(datagram, sizeof(datagram));
195                     }
196                     autoMode = datagram[2];
197                     if (autoMode == 1){
198                         delay(500);
199                         towerServo.write(150);
200                         delay(300);
201                         long leftDistance = ultrasonicRead();

```

```

201     long leftDistance = ultrasonicRead();
202     delay(500);
203     Serial.println("");
204     Serial.println(rightDistance);
205     Serial.println(leftDistance);
206     Serial.println("");
207     if (leftDistance < rightDistance){
208         turnRight();
209         delay(200);
210     }
211     else if (rightDistance < leftDistance){
212         turnLeft();
213         delay(200);
214     }
215     else {
216         digitalWrite(enableLeft, HIGH);
217         digitalWrite(enableRight, HIGH);
218         moveBackward();
219         delay(200);
220     }
221 }
222 else{
223     towerServo.write(90);
224     return;
225 }
226 }
227 else{
228     towerServo.write(90);
229     return;
230 }
231 }
232 else{
233     towerServo.write(90);
234     analogWrite(enableLeft, 150);
235     analogWrite(enableRight, 150);
236     moveForward();
237 }
238 }

```

Główna procedura dla autonomicznego trybu jazdy wraz z przesłaniem do kontrolera odczytu z czujnika temperatury.

```

240 void remoteControl(){
241
242     if (yValue < 470){
243         moveBackward();
244         rightMotorSpeed = map(yValue, 470, 0, 0, 255);
245         leftMotorSpeed = map(yValue, 470, 0, 0, 255);
246     }
247
248     else if (yValue > 550){
249         moveForward();
250         rightMotorSpeed = map(yValue, 550, 1023, 0, 255);
251         leftMotorSpeed = map(yValue, 550, 1023, 0, 255);
252     }
253
254     else{
255         rightMotorSpeed = 0;
256         leftMotorSpeed = 0;
257     }
258
259     if (xValue < 470){
260         int xValueScaled = map(xValue, 470, 0, 0, 255);
261         rightMotorSpeed = rightMotorSpeed + xValueScaled;
262         leftMotorSpeed = leftMotorSpeed - xValueScaled;
263
264         if (leftMotorSpeed > 255){
265             leftMotorSpeed = 255;
266         }
267
268         if (rightMotorSpeed < 0) {
269             rightMotorSpeed = 0;
270         }
271     }
272
273     else if (xValue > 550){
274         int xValueScaled = map(xValue, 550, 1023, 0, 255);
275         rightMotorSpeed = rightMotorSpeed - xValueScaled;
276         leftMotorSpeed = leftMotorSpeed + xValueScaled;
277
278         if (rightMotorSpeed > 255){
279             rightMotorSpeed = 255;
280         }
281
282         if (leftMotorSpeed < 0) {
283             leftMotorSpeed = 0;
284         }
285     }
286
287     if (rightMotorSpeed < 70){
288         rightMotorSpeed = 0;
289     }
290
291     if (leftMotorSpeed < 70){
292         leftMotorSpeed = 0;
293     }
294
295     analogWrite(enableLeft, leftMotorSpeed);
296     analogWrite(enableRight, rightMotorSpeed);
297 }

```

Główna procedura dla trybu zdalnego sterowania z obsługą modulacji PWM

```

85 void loop() {
86     delay(10);
87     radio.startListening();
88     if (radio.available()) {
89         while (radio.available()) {
90             radio.read(datagram, sizeof(datagram));
91         }
92         xValue = datagram[0];
93         yValue = datagram[1];
94         autoMode = datagram[2];
95         Serial.println(xValue);
96         Serial.println(yValue);
97         Serial.println(autoMode);
98     }
99
100    if (autoMode == 1) {
101        delay(25);
102        obstacleAvoidance();
103    }
104
105    else {
106        remoteControl();
107    }
108 }

```

widok na pełną procedurę loop

Wszystkie te podjęte czynności, czyli zarówno od strony oprogramowania jak i strony sprzętowej złożyły się na całość, którym to jest produkt finalnym projektu w postaci działającego system realizującego postawione mu zadania.

Rozdział IV

Projekt jako konstrukcja złożona nie uchronił się od pewnych mankamentów zaistniałych na przebiegu procesu jego tworzenia. Do takich niedoskonałości zaliczyć można, wykorzystanie nieodnawialnego źródła zasilania bądź przynajmniej takiego, które było zdolne do ponownego ładowania co niewątpliwie narażać może na dodatkowe koszty w postaci konieczności zakupu nowego egzemplarza baterii, jak również stanowiące realne zagrożenie dla środowiska w przypadku niepoddania ich procesowi utylizacji odpadów elektronicznych. Jednak mimo to możliwość, że system zostanie poddany do tego stopnia nadmiernej eksploatacji jest na tyle znikoma więc pozwala z dużą dozą stanowczości stwierdzić, że taka sytuacja nie będzie miała miejsca w przyszłości zbyt prędko.

Następną kwestią, która niewątpliwie można zarzucić konstrukcji jest jej surowy wygląd. System ubogacić można było o pewne wstawki wizualne mające na celu w jakimś stopniu podnieść walory estetyczne i uprzyjemnić sam odbiór optyczny systemu, mimo tego według realnego zastosowania zawartego w rozdziale pierwszym wobec systemu nie mającego nic wspólnego z możliwością pełnienia funkcji narażonych na nadmierną ekspozycję na ludzkie oko nie uznałem tego za konieczne. Jednakże mimo to zostały poczynione starania o zachowanie względnej estetyki, której obraz dopatrywać można w np. szczególnie obranej usystematyzowanej metodyce porządkowania złączy pod względem kolorystycznym.

Bez zarzutów nie można pozostawić również pewnych rozwiązań czysto ze sfery kodu.

Jednym z takich jest, wykorzystanie w obrębie programu funkcji delay, której to zadaniem jest zatrzymanie działania programu na pewien zadany czas, która to tym samym może nieść wiele nieporządnych konsekwencji takich jak zakłócenie w sposobie działania

programu. Mimo to z instrukcji tej korzystano tylko tam, gdzie było to potrzebne bądź nawet konieczne z uwzględnieniem pozostałych obrębów kodu mogących funkcjonować w sposób niezakłócony.

Następnym narzucającym się niekoniecznie najbardziej optymalnym rozwiązaniem jest wykorzystanie w kodzie instrukcji digitalWrite. Instrukcja ta odpowiedzialna jest za manipulację stanem logicznym na konkretnych pinach lecz nie koniecznie robi to w satysfakcjonującym tempie. Bardziej korzystnym rozwiązaniem byłoby w tym miejscu posłużenie się odwołaniem bezpośrednim do rejestrów, do których to właśnie przez szereg pośrednich operacji odwołuje się wyżej wymieniona instrukcja co ma swoje odzwierciedlenie w szybkości wykonywania tej operacji. Proces ten niewątpliwie miałaby swoje odzwierciedlenie w poprawie szybkości wykonywania programu. Jednak są to marginalne różnice, które tak naprawdę nie mogą w żaden sposób dać się odczuć w rzeczywistości przy normalnym użytkowaniu systemu.

W czasach zegarków posiadających więcej funkcjonalności niż godzin, których to według ich nominalnego zastosowania powinny one pokazywać, ilość możliwości oferowanych przez wyżej wyszczególniony system może wydawać się znikoma i w tym aspekcie dopatrywać można się pewnego jego mankamentu, jednakże system swoją kompozycją nie zamyka się na przyszłe modernizację i możliwe wzbogacenia o dodatkowe funkcjonalności systemu dzięki dołożeniu dodatkowego "czujnika bądź dwóch" co niewprowadziło by go w stan pełnego chaosu. Realne jest zarówno rozbudowanie już istniejących trybów pracy jak i implementacja nowych wcale zależnych od poprzednich.